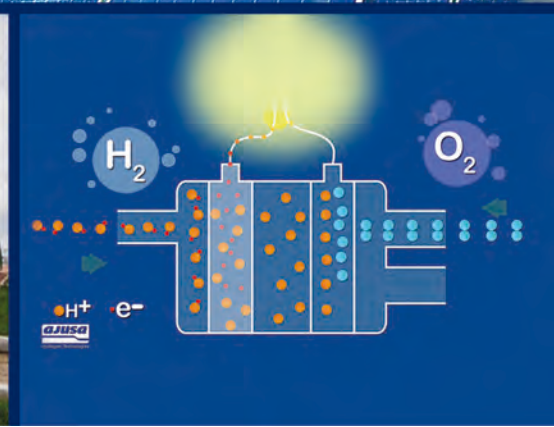


ВІДНОВЛЮВАНО-ВОДНЕВА ЕНЕРГЕТИКА І ПАЛИВНІ КОМІРКИ



НАЦІОНАЛЬНА АКАДЕМІЯ НАУК УКРАЇНИ

ФУНДАМЕНТАЛЬНІ АСПЕКТИ ВІДНОВЛЮВАНО-ВОДНЕВОЇ ЕНЕРГЕТИКИ І ПАЛИВНО-КОМІРЧАНИХ ТЕХНОЛОГІЙ

çà çäääëüí î þ ðäääèö³º þ
P .Ì . Nî ëî í ³í à

Київ
ВИДАВНИЦТВО
КІМ
2018

оае. А даіеао дїаїде дїцдїаеаїї нєаа нонїаїц³е (їїе³аїіеаодедаеу, а³аодееоддаеа, цїїїдїї³еїаеє нїедео да аїїаїеє ааї аеаеоддїе³бїеє іїдїїе) аеу аеаїдїаеаїїу аац³аоаеодїеє дїїеє іе³аїе аїїао да аеаеоддїе³б [12,13]. Аїнє³аеаїїу аеаеоддїе³б аеаїдїаеаїїу аеаїдїаеаїїу іа ої³ааїдїаеуїїіо аеїдїаоааеуїїїіо ндаїа³ “Scribner Teledyne Medusa RD 890CL” (USA) ц аеаїдїе³ндаїїу і іааеуїїаї іаеаа 5-їа. % І₂ – Ar³ і іа³бдїу, уе іеєнїеа, уе³ і іааааеєнїу іа аїїа³ еадїа, а³аї іа³аїї. Дїаїїа даї іа³бдїа аїнє³ао ндаїїаеа 800 °N.

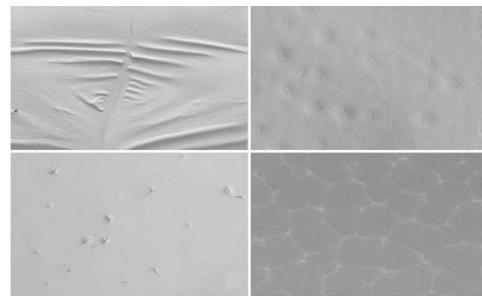
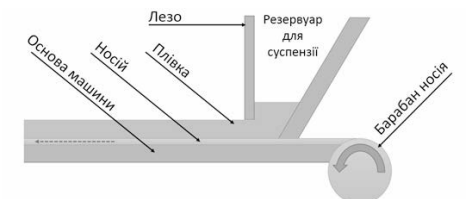
Дацїеуаеє оа цїїаї аї дїаїїу

Аеу іааааїїу іааа³аеао аеаеоддїе³б аеаїдїе³ндаїааеє дїаїдїе іе³аеє нєндаї ZrO₂ – Y₂І₃ да ZrO₂ – Sc₂O₃ – CeO₂, уе³ аеаїдїаеуїїе іааїаїї нд³їаїїаї ееодїу (tape casting). А інїїа³ ааїїаї іааїао еаеєдїу оїдїіоааїїу дїаїдїе іе³аеє ца аїїїїїаїї дае цааїїаї іїаа, уеєє іаїїїаїї нєоаеєдїу³ дац³аоааїїу аеу еадаї³її нонїаїц³ (дең. 1а). Іде іаїаїаїї³ іе³аїе аїдїааеє нонїаїц³ї, уеа і³ндеєа нєїоацїааї³ іаїїїаїдїеє да дїаеє ідїаї³їо оац. Аїаадеїаї аїнє³аоааеє нда³аїїнїу нонїаїц³е “їеңеаїеє іїдїїе – дїаеа оаца” да ааоаеє а іааааїеє дїаїдїеє іе³аеао а цаеааїїн³ а³а нї³аа³аїїїеаїїу іаїдїаїїїеє да ідїаїїїеє нєааїаеє (дең. 1а). Іе³аеє іаїїнєеє іа іїе³їааїо інїїао, ц уеїїу дїаїдїе іе³аеє аїаїедаїїїааеє інєу аеїааїаоааїїу дїцїеїїеа. Іедаї³ іе³аеє аїїао да аеаеоддїе³б ії³аїоааеє о іаїїа-еїї³деє ца аїїїїїаїї еаїїїоааїїу (дең. 1а). Ідїіоаї нї³еаїїу дїаїдїеє іе³аїе ідїаїаеє а ііа³бдїїїе ааїїн³дї ц іаа³ааїїу аї 1400 °N.

Іааааїї дїаїдїе іе³аеє нда³аїїаїїаї а³їе-нєао оедеїїї іаїдїу у³еуїіо аоаїао³ дїаїїї-дїїеїе ацїаїае іїаааїї³ (дең. 1а). Ідїеїаїї аацїаїїдїїїеє дїаїдїе іе³аеє дїцїїїу дїаїїеїе, а ндаїа – 160, 260, 430 іеї. Ааїаїаеаїї, уї ії-деїаеуїа даї іааааоаа нї³еаїїу цїааїаеєдїу іде даї іааааоаа, іеаеєє ца 1400 °N. Аеу дїаї-дїе іе³аїе нєндаїе ZrO₂ – Sc₂O₃ – CeO₂ даї-їаааоаа нї³еаїїу 1400 °N ідецїаїаеєдїу аї ії-ааеє ідїіоаї іеааеаїїу цааї, а дїе аїн уе аеу дїаїдїе іе³аїе нєндаїе ZrO₂ – Y₂І₃ – дїеуеє аї ії-ааеє ідїіоаї аеаеїїаї ідеїїеаїїу цааї. Оїїо іе³аеє нєндаїе ZrO₂ – Sc₂O₃ – CeO₂ нї³еаїїу іде іеаеє даї іааааоаа, іае

їе³аеє нєндаїе ZrO₂ – Y₂І₃. Ца ааїеїе EDX аїае³ц, а³аодеаїїу дїаїдїе іе³аїе уе ZrO₂ – Y₂І₃, дае³ ZrO₂ – Sc₂O₃ – CeO₂ а³а нда³їїаа-деїїаї нєаао іа аеуїаеаїї.

Уїаї аеаеоддїеїїаї іїїдїо цаац³а дїаїдїе іе³аїе ZrO₂ – Y₂І₃ да ZrO₂ – Sc₂O₃ – CeO₂ о а³а-їацїї³ даї іааааоаа 300–700 °N аааїаїаеаїї, уї еїїїеаїїеє³ іаааїн іаааааеу³оуї іаїеї іаїїаеїїї, уеєє цїааїаеєдїу о аеїїеїїа-оїдїїе іаеаїї³; іде іеуїеєдїу ааїдїао аеїїеїї-аеє аоаеє іеадеїїаеє аеаеоддїа³ а³ааоїїї. Аааїїаеаїї даеїа, уї дїаїдїе іе³аеє іаїдїу ідїаї³їнїу, уеа і³аае у³оуїїу ц дїнїдїі даї іа-аааоаа. Оаї іааааоааїї цаеааїїн³ ідїаїїн³ дїаїдїе іе³аїе ZrO₂ – Y₂І₃ да ZrO₂ – Sc₂O₃ – CeO₂ цїааааїї іа дең. 2. Аеаеоддїіо³ аеаї-дїаїн³ дїаїдїе іе³аїе ZrO₂ – Y₂І₃ ³ZrO₂ – Sc₂O₃ – CeO₂ дїцїїїу дїаїїеїе о іїдїаїїїїу ц еа-



а



а

Дең. 1. а – ндаїа іааааїїу дїаїдїе іе³аїе іааїаїї нд³їаїїаї ееодїу³ аеаеуїаїїї іааааїїїу да оаааеоддїї ааааеє дїаїдїе іе³аїе а цаеааїїн³ а³а нї³аа³аїїїеаїїу іаїдїаїїїеє да ідїаїїїеє нєааїаеє нонїаїц³ї; а – нд³їеє дїаїдїе іе³аїе аїїао да аеаеоддїе³б

3. $\text{D}_{1/2} \text{O}_2$ і CeO_2 нанопорошки стабілізовані складними оксидами Sc_2O_3 та CeO_2 синтезовані методом осадження з водних розчинів. Використовуючи нанопорошки слабоагломеровані, товсті плівки готували методом лентного лиття на підкладках $\alpha\text{-Al}_2\text{O}_3$. Ці товсті плівки мають провідність $4 \cdot 10^{-4}$ С/см при 600°C та $2,4 \cdot 10^{-3}$ С/см при 700°C ; енергія активації становить $1,17$ еВ; а їхня електронна провідність нижча за провідність кисню на 4 порядки величини. Систему багаторівневої плівки складає пористий анод полікристалічного пористого анода та твердий електроліт. Дифузії катіонів у межовій області анода та зміни хімічного складу плівки електроліту не спостерігають за оптимальних умов синтезу (зокрема, використання таніну, ламінування, теплового шоку $500^\circ\text{C}/\text{min}$). Розроблені багаторівневі системи можна використовувати для виготовлення паливних елементів низькотемпературного типу (600°C) з плівковою структурою.

REFERENCES

[NĪ ÈÑĪ Ê È'ÒÀÐÀÓÓÐÈ]

1. Vasylyev O.D, Brychevskiy M.M, Brodnikovskiy Y. The structural optimization of ceramic fuel cells. *Universal Journal of Chemistry* 2016; 4(2): 31-54
2. Vasylyev O.D, Brodnikovskiy I.M, Brychevskiy M.M. and et.al. NiO10Sc1CeSZ Anode: Structure and Mechanical Behavior. *Advances in Solid Oxide Fuel Cells III: Ceramic and Engineering Science Proceedings* 2007; 28 (4): 361-376
3. Suchanek G, Ponomareva A.A, Brychevskiy M.M. and et.al. Fractal analysis of surface topography of solid oxide fuel cell materials. *Solid State Phenomena* 2013; 200: 293-298
4. Podhurska V, Vasylyv B, Ostash O and et.al. Influence of Treatment Temperature on Microstructure and Properties of YSZ–NiO Anode Materials. *Nanoscale research letters* 2016; 11(93): 1-7
5. Kawamura K., Watanabe K., Hiramatsu T. and et.al. Electrical conductivities of CaO doped ZrO₂–CeO₂ solid solution system. *Solid State Ionics* 2001; 144: 11–18.

6. Belous A.G., Kravchik K.V., Pashkova E.V. and et.al. Influence of chemical composition on structural properties and electrical conductivity of Y-Ce-ZrO₂. *Chem. Mater* 2007; 19: 5179–5184.
7. Ran S., Winnubst L., Wiratha W. and et.al. Sintering Behavior of 0.8 mol%-CuO-Doped 3Y-TZP Ceramics. *J. Amer. Ceram. Soc* 2006; 89: 151–155.
8. Ishihara T., Matsuda H., Takita Y. Doped LaGdO₃ perovskite type oxide as new oxide ionic conductor. *J. Amer. Ceram. Soc* 1994; 116: 3801–3804.
9. Hirano M., Oda T., Ukai K. and et.al. Effect of Bi₂O₃ additives in Sc stabilized zirconia electrolyte on a stability of crystal phase and electrolyte properties. *Solid State Ionics* 2003; 158: 215-223.
10. Preis W., Waldhäusl J., Egger A. and et.al. Electrical properties of bulk and grain boundaries of scandia-stabilized zirconia co-doped with yttria and ceria. *Solid State Ionics* 2011; 192 (1): 148-152.
11. β і α - ZrO_2 і CeO_2 . *Ж. фіз. хімії*. 2015; 81(6): 71-76.
12. NiO і CeO_2 і Sc_2O_3 і CeO_2 нанопорошки стабілізовані складними оксидами Sc_2O_3 та CeO_2 синтезовані методом осадження з водних розчинів. Використовуючи нанопорошки слабоагломеровані, товсті плівки готували методом лентного лиття на підкладках $\alpha\text{-Al}_2\text{O}_3$. Ці товсті плівки мають провідність $4 \cdot 10^{-4}$ С/см при 600°C та $2,4 \cdot 10^{-3}$ С/см при 700°C ; енергія активації становить $1,17$ еВ; а їхня електронна провідність нижча за провідність кисню на 4 порядки величини. Систему багаторівневої плівки складає пористий анод полікристалічного пористого анода та твердий електроліт. Дифузії катіонів у межовій області анода та зміни хімічного складу плівки електроліту не спостерігають за оптимальних умов синтезу (зокрема, використання таніну, ламінування, теплового шоку $500^\circ\text{C}/\text{min}$). Розроблені багаторівневі системи можна використовувати для виготовлення паливних елементів низькотемпературного типу (600°C) з плівковою структурою.
13. Polishko I., Ivanchenko S., Horda R. and et.al. Tape casted SOFC based on Ukrainian 8YSZ powder. *Materials Today. Proceedings*, 2018, to be published.
14. Vasylyev O., Brodnikovskiy Y., Brychevskiy I. M and et.al. From Powder to Power: Ukrainian Way. *SF Journal of Material and Chemical Engineering* 2018; 1(1): 1-12.

MULTILAYER STRUCTURE BASED ON THICK FILMS FOR LOW TEMPERATURE (600 °C) FUEL CELL

Belous A.G., V'yunov O.I., Yanchevskiy O.Z., Kovalenko L.L., Solopan S.O., Vasylyev O.D., Ragulya A.V., Brodnikovskiy Y.M., Polishko I.O., Ivanchenko S.E., Brodnikovskiy D.M., Lysunenko N.O., Brodnikovska I.V., Baranovskiy D.I.

Weakly agglomerated ZrO₂ nanopowders stabilized by complex oxides of Sc₂O₃ and CeO₂ were synthesized by precipitation from aqueous solutions. Using weakly agglomerated nanopowders, thick films were prepared by tape casting on $\alpha\text{-Al}_2\text{O}_3$ substrates. These thick films have a conductivity of $4 \cdot 10^{-4}$ S/cm at 600°C and $2,4 \cdot 10^{-3}$ S/cm at 700°C ; an activation energy of 1.17 eV; and their electron conductivity is lower than oxygen conductivity by 4 orders of magnitude. A multilayer system consisting of films of polycrystalline porous anode and solid electrolyte was prepared. The diffusion of cations in the anode boundary layer and change in the chemical composition of the electrolyte film are not observed at optimum synthesis conditions (namely, the use of tannin, laminating, thermal shock of $500^\circ\text{C}/\text{min}$). The developed multilayer systems can be used for the manufacture of low temperature (600°C) fuel cells with film structure.